



Europäisches Patentamt
European Patent Office
Office européen des brevets



⑪ Veröffentlichungsnummer: **0 416 282 A1**

⑫

EUROPÄISCHE PATENTANMELDUNG

⑰ Anmeldenummer: 90114653.0

⑤① Int. Cl.⁵: **C12N 9/80, C12P 13/24,**
///(C12N9/80,C12R1:05)

⑱ Anmeldetag: 31.07.90

⑳ Priorität: 06.09.89 DE 3929570

④③ Veröffentlichungstag der Anmeldung:
13.03.91 Patentblatt 91/11

⑥④ Benannte Vertragsstaaten:
AT BE CH DE DK ES FR GB GR IT LI LU NL SE

⑦① Anmelder: **Degussa Aktiengesellschaft**
Weissfrauenstrasse 9
W-6000 Frankfurt am Main 1(DE)

⑦② Erfinder: **Groeger, Ulrich, Dr.**
Löherstrasse 39 B
W-8750 Aschaffenburg(DE)
Erfinder: **Leuchtenberger, Wolfgang, Dr.**
Gronauer Strasse 10
W-4800 Bielefeld 1(DE)
Erfinder: **Drauz, Karlheinz, Dr.**
Zur Marienruhe 15
W-6463 Freigericht 1(DE)

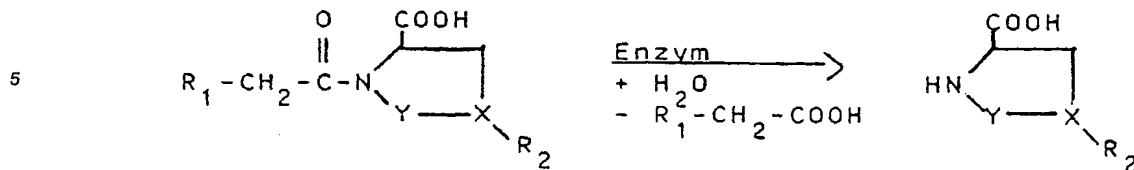
⑤④ Mikrobiologisch hergestellte N-Acyl-L-prolin-Acylase, Verfahren zu ihrer Gewinnung und ihre Verwendung.

⑤⑦ Gegenstand der Erfindung ist eine mikrobiologisch hergestellte, thermostabile N-Acyl-L-prolin-Acylase und ein Verfahren zu ihrer Gewinnung aus *Comamonas testosteroni* DSM 5416 oder *Alcaligenes denitrificans* DSM 5417. Das Enzym kann zur Gewinnung von L-Prolin aus N-Acetyl-D,L-prolin, N-Chloracetyl-D,L-prolin, N-Formyl-D,L-prolin, N-Propionyl-D,L-prolin, N-Butyryl-D,L-prolin, N-Valeryl-D,L-prolin, N-Caproyl-D,L-prolin, von L-Thiazolidin-4-carbonsäure aus N-Acetyl-D,L-thiazolidin-4-carbonsäure oder N-Chloracetyl-D,L-thiazolidin-4-carbonsäure, von L-Thiazolidin-2-carbonsäure aus N-Acetyl-D,L-thiazolidin-2-carbonsäure oder N-Chloracetyl-D,L-thiazolidin-2-carbonsäure sowie L-Pipecolinsäure aus N-Acetyl-D,L-pipecolinsäure oder N-Chloracetyl-D,L-pipecolinsäure verwendet werden. Zudem kann das Enzym zur Herstellung von N-Acetyl-L-prolin, N-Propionyl-L-prolin und N-Butyryl-L-prolin aus L-Prolin und der jeweiligen Carbonsäure eingesetzt werden.

EP 0 416 282 A1

MIKROBIOLOGISCH HERGESTELLTE N-ACYL-L-PROLIN-ACYLASE, VERFAHREN ZU IHRER GEWINNUNG UND IHRE VERWENDUNG

Die Erfindung betrifft ein bisher nicht beschriebenes Enzym, das Umsetzungen folgender Art katalysiert:



Das neue Enzym ist thermostabil und ergibt einen besonders guten Umsatz mit $\text{R}_1 = \text{H}$, $\text{X} = \text{CH}$ und $\text{R}_2 = \text{H}$, mit $\text{R}_1 = \text{Cl}$, $\text{X} = \text{CH}$ und $\text{R}_2 = \text{H}$, mit $\text{R}_1 = \text{H}$ und $\text{X-R}_2 = \text{S}$, mit $\text{R}_1 = \text{Cl}$ und $\text{X-R}_2 = \text{S}$, mit $\text{R}_1 = \text{H}$, $\text{X} = \text{CH}$, $\text{R}_2 = \text{H}$ und $\text{Y} = \text{S}$ und mit $\text{R}_1 = \text{Cl}$, $\text{X} = \text{CH}$, $\text{R}_2 = \text{H}$ und $\text{Y} = \text{S}$.

Aus *Biochimica et Biophysica Acta*, 744 (1983), 180-188, Elsevier Biomedical Press, ist bereits eine Prolin - Acylase (N-Acyl-L-prolin-amido-hydrolase) aus einem *Pseudomonas*-Stamm bekannt. Das dort beschriebene Enzym wird jedoch bereits bei einer Temperatur von 50° C sehr rasch inaktiviert. Für eine industrielle Anwendung werden jedoch Enzyme benötigt, die eine hohe Stabilität aufweisen. Für die Reaktionsführung ist es insbesondere vorteilhaft, bei erhöhten Temperaturen zu arbeiten, welche die Reaktionsgeschwindigkeit und die Löslichkeit der Substrate wesentlich erhöhen. Das erfindungsgemäße Enzym ist wesentlich thermostabiler.

Es ist durch die folgenden Eigenschaften gekennzeichnet:

1) **Reaktivität:**

sie spaltet die Acetylgruppe von N-Acetyl-L-prolin ab, wobei Essigsäure und L-Prolin als Endprodukte entstehen, und kondensiert Essigsäure und L-Prolin, wobei N-Acetyl-L-prolin und Wasser als Endprodukte entstehen;

2) **Substratspezifität:**

sie hydrolysiert N-Acetyl-L-prolin,
N-Chloracetyl-L-prolin, N-Formyl-L-prolin,
N-Propionyl-L-prolin, N-butyryl-L-prolin,
N-Valeryl-L-prolin, N-Caproyl-L-prolin,
N-Acetyl-L-4-hydroxyprolin,
N-Chloracetyl-L-thiazolidin-4-carbonsäure,
N-Chloracetyl-L-thiazolidin-2-carbonsäure,
N-Chloracetyl-L-pipecolinsäure,
N-Benzoyloxycarbonyl-glycyl-L-prolin,
Glycyl-L-prolin, N-Acetyl-L-alanin,
N-Chloracetyl-L-methionin und
N-Chloracetyl-L-valin;

3) **Optimaler pH-Wert:**

der optimale pH-Wert ist $6,8 \pm 0,5$;

4) **pH-Stabilität:**

sie zeigt bei 22°C über einen Zeitraum von 3 Wochen eine gute Stabilität im pH-Bereich zwischen pH 7,0 und pH 10,0;

5) **Optimale Temperatur:**

die optimale Temperatur beträgt 65° C bei einem pH-Wert von 7,5;

6) **Temperaturbeständigkeit:**

bei 70° C und pH 7,5 ist nach 30-minütiger Inkubation kein Aktivitätsverlust nachweisbar;

7) **Einflüsse von Inhibitoren und Aktivatoren:**

inhibierend wirken vor allem 1,10-Phenanthrolin, 2-Mercaptoethanol, 4-Chloromercuribenzoat, 4-Hydroxymmercuribenzoat, Hg^{2+} , Cu^{2+} , Fe^{2+} , Fe^{3+} , Sn^{2+} , Zn^{2+} und PO_4^{3-} , aktivierend auf das Apoenzym wirken Co^{2+} und Zn^{2+} ;

8) **Molekulargewicht:**

das Molekulargewicht beträgt $380\,000 \pm 40\,000$ Dalton;

9) **Untereinheiten:**

das Molekül besteht aus 8 gleichgroßen Untereinheiten mit je $45\,000 \pm 5\,000$ Dalton;

10) K_H -Wert:

der K_M -Wert für das Substrat N-Acetyl-L-prolin beträgt 5 mM (30° C, 0,1 M Tris-HCl-Puffer, pH 7,0).

- Die erfindungsgemäße N-Acyl-L-prolin-Acylase kann mittels des *Comamonas testosteroni*-Stammes DSM 5416 oder des *Alcaligenes denitrificans*-Stammes DSM 5417 gewonnen werden. Diese beiden Stämme wurden am 19.12.1988 bei der Deutschen Sammlung von Mikroorganismen und Zellkulturen GmbH (DSMZ) in Braunschweig hinterlegt.

Die folgenden Eigenschaften zeigen, daß der Stamm DSM 5416 der Species *Comamonas testosteroni* angehört:

- 10 Er wächst in 0,5 - 0,7 μm breiten und 1,5 - 3,0 μm langen, gramnegativen, durch mehr als eine polare Geißel beweglichen Stäbchen und bildet keine Sporen. Die Zellen werden durch 3 % KOH lysiert. Aminopeptidase (Cerny)-, Oxidase-, Katalase- und Phenylalanindeaminase-Reaktion sind positiv, Lecithinase- und Urease-Reaktion sind negativ. Das Wachstum ist strikt aerob, bei pH 5,6 auf Mac-Conkey-Agar und Simmons-Citrat-Agar positiv, bei 37° C und 41° C, SS-Agar und Cetrimid-Agar negativ. Pigment-
- 15 bildung, ONPG-, ADH- und VP-Reaktion sind negativ. Nitratreduktion ist positiv, Denitrifikation ist negativ. Stärke, Gelatine, Casein, DNA, Tween 80 und Äsculin werden nicht hydrolysiert. Zum Wachstum werden Vitamine benötigt, der Tyrosin-Abbau ist positiv. Folgende Substrate werden zum Wachstum als Kohlenstoff- und Energiequelle verwertet: Gluconat, Glycerin, Pyruvat, L-Lactat, Malat, Adipat, Lävulinat, Mucal, D-Tartrat, Sebacinat, 2-Ketoglutarat, Acetat, Propionat, Butyrat, N-Acetyl-L-prolin, L-Prolin, L-Leucin,
- 20 L-Aspartat, Norleucin und γ -Aminobutyrat. Kein Wachstum auf Arabinose, Glucose, Fructose, Lactose, Maltose, Mannose, Saccharose, Xylose, Mannit, 2-Ketogluconat, N-Acetylglucosamin, Caproat, Citrat, Glycolat, Malonat, Phenylacetat, L-Arginin, L-Histidin, L-Serin und L-Tryptophan.

Die folgenden Eigenschaften zeigen, daß der Stamm DSM 5417 der Species *Alcaligenes denitrificans* angehört:

- 25 Er wächst in 0,5 - 0,6 μm breiten und 1,0 - 2,0 μm langen, gramnegativen, durch peritrich angeordnete Geißeln beweglichen Stäbchen und bildet keine Sporen. Die Zellen werden durch 3 % KOH lysiert. Aminopeptidase (Cerny)-, Oxidase- und Katalase-Reaktion sind positiv, Phenylalanindeaminase-, Lecithinase- und Urease-Reaktion sind negativ. Das Wachstum ist aerob, bei pH 5,6, bei 37° C, auf Mac-Conkey-Agar, SS-Agar und Simmons-Citrat-Agar positiv, bei 41° C und auf Centrimid-Agar negativ.
- 30 Pigmentbildung, ONPG-, ADH- und VP-Reaktion sind negativ. Nitratreduktion und Denitrifikation sind positiv. Als Speicherstoff wird Poly- β -hydroxybuttersäure (PHB) gebildet. Stärke, Gelatine, Casein, DNA, Tween 80 und Äsculin werden nicht hydrolysiert. Der Tyrosin-Abbau ist positiv. Folgende Substrate werden zum Wachstum als Kohlenstoff- und Energiequelle verwertet: Acetat, Adipat, Caproat, Citrat, L-Lactat, Malat, Propionat, Phenylacetat, Azelat, Gluconat, N-Acetylglucosamin, N-Acetyl-L-prolin, L-Prolin, L-Aspartat und L-
- 35 Glutamat. Kein Wachstum auf Arabinose, Glucose, Fructose, Mannose, Maltose, Xylose, Mannit, 2-Ketogluconat, Glycolat, Lävulinat, Malonat, Oxalat, Meso-tartrat, Itaconat, Pimelat, Sebacinat, Suberat, L-Alanin und L-Serin.

- Die Mikroorganismen können als lyophilisierte Kultur, durch Einfrieren bei -80° C oder in flüssigem Stickstoff bei -196° C aufbewahrt werden. Arbeitskulturen werden auf Schrägagar-Röhrchen (Caseinpepton-Sojamehlpepton-Agar der Firma Merck AG, Darmstadt, FRG) gehalten.

- Zur Gewinnung der erfindungsgemäßen N-Acyl-L-prolin-Acylase wird *Comamonas testosteroni* DSM 5416 oder *Alcaligenes denitrificans* DSM 5417 in einem wäßrigen Nährmedium, das eine Quelle für Kohlenstoff, Stickstoff, Mineralsalze und N-Acetyl-L-prolin als Induktor, bei Einsatz von *Comamonas testosteroni* DSM 5416 zusätzlich eine Vitaminquelle z.B. in komplexer Form als Hefeextrakt, enthält, bei einem
- 45 Ausgang-pH-Wert zwischen 6,0 und 8,0 und einer Temperatur zwischen 25° C und 35° C aerob kultiviert, die Zellmasse abgetrennt und das Enzym aus den Zellen isoliert.

In größeren Mengen kann das Enzym beispielsweise so gewonnen werden, daß man *Comamonas testosteroni* DSM 5416 oder *Alcaligenes denitrificans* DSM 5417 in an sich bekannter Weise in einem Bioreaktor gewünschter Größe anzieht.

- 50 Für eine erfolgreiche Anzucht sind wichtig:

- eine gute Belüftung (aerober Organismus);
 - ein Ausgangs-pH-Wert des Nährmediums zwischen 6,0 und 8,0;
 - die Anwesenheit von N-Acetyl-L-prolin im Nährmedium zur Induktion des Enzyms (0,06 bis 0,1 Gewichtsprozent)
- 55 - die Anwesenheit von Vitaminen (z.B. in komplexer Form als Hefeextrakt).

Das Enzym kann nach Aufschluß der Zellen durch die Kombination an sich bekannter Methoden der Enzymreinigung gewonnen werden. Das Enzym kann zur Gewinnung von L-Prolin aus N-Acetyl-L-prolin, N-Chloracetyl-L-prolin, N-Acetyl-D,L-prolin oder N-Chloracetyl-D,L-prolin verwendet werden. Zudem kann das

Enzym zur Herstellung von N-Acetyl-L-prolin, N-Propionyl-L-prolin und N-Butyryl-L-prolin aus L-Prolin und der jeweiligen Carbonsäure eingesetzt werden.

Die Erfindung soll durch die nachfolgenden Beispiele näher erläutert werden:

5

Beispiel 1: Suche nach N-Acyl-L-prolin-Acylase-Produzenten

3 Boden- und 1 Klarwerksprobe wurden mit 0,9 % (w/v) NaCl aufgeschlemmt und 1 ml der Suspension bzw. 1 ml der unverdünnten Klärwerksprobe in 50 ml Flüssigmedium (Anreicherungsmedium) eingepflegt.
10 Das Flüssigmedium hatte folgende Zusammensetzung:

15

20

N-Acetyl-L-prolin	5 g
Hefeextrakt	0,1 g
K ₂ HPO ₄	2 g
NaCl	1 g
MgSO ₄ · 7H ₂ O	0,3 g
CaCl ₂ · 2H ₂ O	0,1 g
Spurenelement-Lösung	1 ml
H ₂ O demineralisiert ad	1 l
pH-Wert	5,6 bzw. 7,4

Die Spurenelement-Lösung hatte folgende Zusammensetzung:

25

30

35

FeCl ₃ · 6H ₂ O	250 mg
ZnCl ₂	75 mg
H ₃ BO ₃	30 mg
CuSO ₄ · 5H ₂ O	20 mg
MnCl ₂ · 4H ₂ O	20 mg
CoCl ₂ · 6H ₂ O	14 mg
(NH ₄) ₆ Mo ₇ O ₂₄ · 4H ₂ O	10 mg
0,01 N HCl ad	100 ml
pH-Wert	~ 1,7

50 ml des Anreicherungsmediums wurden in 500 ml Erlenmeyerkolben (mit Aufsatz und 4 seitlichen Schikanen) gefüllt und autoklaviert. Die Spurenelementlösung wurde sterilfiltriert und jedem Kolben nach dem Abkühlen zugesetzt. Die Kolben wurden wie oben angegeben beimpft und bei 30° C aerob in einem Rundschtüttler bei 200 rpm 3 Tage inkubiert. Dicht bewachsene Ansätze wurden mit steriler 0,9 % (w/v) NaCl-Lösung in üblicher Weise verdünnt und auf Agarplatten (Anreicherungsmedium mit 1,2 % (w/v) Agar-Agar, pH-Wert 5,6) ausplattiert. Die Agarplatten wurden 5 Tage bei 30° C inkubiert und gutgewachsene Kolonien vereinzelt und insgesamt 4- bis 5-mal auf das gleiche Medium überimpft.

45 Nach der Koloniemorphologie und mikroskopischem Bild einheitlich erscheinende Stämme wurden sodann in 100 ml Flüssigmedium (500 ml Erlenmeyerkolben mit Aufsatz und 4 seitlichen Schikanen) bei 30° auf einer Rundschtüttelmaschine bei 200 rpm vermehrt. Das Anzuchtmedium hatte folgende Zusammensetzung:

50

55

5

10

N-Acetyl-L-prolin	4 g
(NH ₄) ₂ SO ₄	2 g
Hefeextrakt	1 g
K ₂ HPO ₄	2 g
MgSO ₄ · 7H ₂ O	0,3 g
CaCl ₂ · 2H ₂ O	0,1 g
NaCl	1 g
Spurenelement-Lösung	1 ml
H ₂ O demineralisiert ad	1 l
pH-Wert	7,0

15 Nach 24 bis 48 Stunden wurde das zellhaltige Nährmedium zentrifugiert (15 min, 4.500 g in einer Kühlzentrifuge), die Zellen wurden zweimal mit 0,9 % (w/v) NaCl-Lösung gewaschen und in 10 ml 0,1 M Tris-HCl-Puffer, pH 7,0, resuspendiert.

Die Mikroorganismen dieser Suspension wurden durch Ultraschallbehandlung (Sonifier-Cell Disrupter B-30 der Firma Branson Sonic Power Co., Danbury, Connecticut, USA) aufgeschlossen (2 Minuten pulsierend, entsprechend 1 Minute reiner Beschalldauer). Die Zelltrümmer und nicht aufgeschlossene Zellen wurden in einer Kühlzentrifuge 30 Minuten bei 40.000 g und 5°C abzentrifugiert. Der klare Überstand (= Rohextrakt) wurden im Enzymtest eingesetzt.

Der Standard-Reaktionsansatz zur Bestimmung der Enzymaktivität war folgendermaßen zusammengesetzt:

25

30 mM 0,1 M	N-Acetyl-L-prolin in 0,1 M Tris-HCl-Puffer, eingestellt auf pH 7,0 Tris-HCl-Puffer pH 7,0 Rohextrakt	1,0 ml 1,95 ml 0,05 ml
----------------	--	------------------------------

30

Die Reaktion wurde durch Zugabe von Rohextrakt gestartet und die Reaktionsansätze üblicherweise 10 Minuten bei 30° C inkubiert. Inkubationszeit und Rohextraktmenge wurden so bemessen, daß der Linearitätsbereich der enzymatischen Reaktion und des nachgeschalteten Prolin-Nachweises nicht überschritten wurden.

35 Nachweis des Reaktionsproduktes L-Prolin durch Ninhydrin-Detektion (nach Yaron und Mlynar, Biochem. Biophys. Res. Commun. 32 (4), 658-663 (1968)).

50 µl des Enzymtests wurden in 1,25 ml 100%-ige Essigsäure pipettiert und damit die enzymatische Reaktion gestoppt. Anschließend wurden 0,45 ml 0,1 M Tris-HCl-Puffer pH 7,0 und 1,25 ml Ninhydrin-Reagenz (3 g Ninhydrin unter Erwärmen gelöst in einer Mischung aus 60 ml 100%-iger Essigsäure und 40 ml 6 M Phosphorsäure) zugegeben. Das Ninhydrin-Reagenz wurden täglich frisch angesetzt.

Die Reagenzgläser wurden mit Schraubdeckeln locker verschlossen, 30 Minuten bei 100° C inkubiert und anschließend im Eisbad abgekühlt.

Das durch die enzymatische Hydrolyse freigesetzte L-Prolin bildet mit Ninhydrin bei 100° C einen gelben Farbstoff, dessen Absorption im Spektralphotometer bei 480 nm gegen einen Ansatz ohne Rohextrakt (= Substratblank) gemessen wurde. Anhand einer Eichgeraden mit L-Prolin im Bereich von 5 bis 100 nmole pro 50 µl Probe wurde die Konzentration des entstandenen L-Prolins bestimmt. Die Enzymaktivität wurde in internationalen Einheiten angegeben, wobei eine Einheit (U) einer Menge von 1 µmol freigesetztem L-Prolin pro Minute entsprach.

50 Die Proteinbestimmung wurde mit einem Proteinbestimmungs-Kit der Fa. Pierce Chemical Co., Rockford, Illinois, USA, nach Bradford, Anal. Biochem. 72, 248-254 (1976) durchgeführt.

55

Tabelle 1

Bildung der N-Acyl-L-prolin-Acylase durch verschiedene gescreente Bakterienstämme	
Stamm	Spez. Aktivität (U/mg)
B-A1 (DSM 5417)	0,64
B-A2	0,34
B-A3	0,55
B-B	0,59
B-K (DSM 5416)	2,98
B-L	0,19
B-M	0,09
Sub 4	0,42
Sub 5	0,16
Sub 6	0,41

Wie Tabelle 1 zeigt, wies der Stamm B-K bei dem beschriebenen Testverfahren die weitaus höchste Aktivität auf und wurde daher zur Produktion des Enzyms verwendet. Die Stämme B-K und B-A1 wurden durch die Deutsche Sammlung von Mikroorganismen und Zellkulturen GmbH (DSMZ), Braunschweig, FRG, als Comamonas testosteroni und Alcaligenes denitrificans identifiziert.

Beispiel 2: Wachstum und Acylase-Bildung von Comamonas testosteroni DSM 5416.

a) Wachstum und Acylase-Bildung auf verschiedenen Kohlenstoffquellen

Comamonas testosteroni DSM 5416 wurde, wie in Beispiel 1 beschrieben, im Anzuchtmedium vermehrt, die Zellen durch Ultraschall aufgeschlossen und die spezifische Aktivität der N-Acyl-L-prolin-Acylase bestimmt. Die Kohlenstoffquelle des Anzuchtmediums mit einer Konzentration von 4 g/l wurde variiert und der Einfluß auf das Wachstum und die Acylase-Bildung bestimmt.

Tabelle 2

Einfluß verschiedener Kohlenstoffquellen auf das Wachstum und die spezifische Aktivität der N-Acyl-L-prolin-Acylase		
C-Quelle*	Wachstum (OD ₆₀₀)	Spez. Aktivität (U/mg)
N-Acetyl-L-prolin	6,0	2,26
Acetat	2,3	< 0,01
Propionat	1,9	< 0,01
Butyrat	1,8	< 0,01
Pyruvat	2,4	< 0,01
Lactat	3,0	< 0,01
Malat	3,4	< 0,01
Glycerin	1,1	< 0,01
L-Aspartat	2,0	< 0,01
L-Leucin	2,6	< 0,01
L-Prolin	3,9	< 0,01

* Kein Wachstum auf Arabinose, Glucose, Fructose, Lactose, Maltose, Mannose, Saccharose, Xylose, Citrat, Phenylacetat, L-Arginin, L-Histidin, L-Serin und L-Tryptophan

Wie aus Tabelle 2 zu ersehen ist, wurde die N-Acyl-L-prolin-Acylase durch *Comamonas testosteroni* DSM 5416 nur bei Wachstum auf N-Acetyl-L-prolin als Kohlenstoffquelle gebildet. Bei Wachstum auf anderen Kohlenstoffquellen war keine Enzym-Aktivität nachweisbar.

b) Wachstum und Acylase-Bildung bei verschiedenen Start-pH-Werten

Im Anzuchtmedium, wie in Beispiel 1 beschrieben, jedoch mit 2 g/l N-Acetyl-L-prolin, wurde der pH-Wert im Bereich 6,0 - 8,0 in Schritten zu 0,5 Einheiten variiert. Nach einer Inkubationszeit von 17,5 Stunden wurden der pH-Wert des Mediums, das Wachstum durch Messung der optischen Dichte bei 600 nm und die spezifische Aktivität der N-Acyl-L-prolin-Acylase bestimmt.

Tabelle 3

Abhängigkeit des Wachstums und der Bildung der N-Acyl-L-prolin-Acylase vom pH-Wert des Anzuchtmediums			
Anfangs-pH	End-pH	Wachstum (OD ₆₀₀)	Spez. Aktivität (U/mg)
6,0	8,00	3,55	1,52
6,5	8,05	3,78	1,31
7,0	8,00	3,80	1,36
7,5	8,06	3,53	1,34
8,0	8,00	3,88	0,58

Tabelle 3 zeigt, daß der End-pH-Wert und das Wachstum durch den Ausgangs-pH-Wert des Anzuchtmediums nicht beeinflusst wurden. Im pH-Bereich 6,0 - 7,5 wird auch die spezifische Aktivität der Acylase nur unwesentlich beeinflusst, während bei pH 8,0 nur etwa ein Drittel der Enzym-Aktivität erzielt wird.

c) Wachstum und Acylase-Bildung bei verschiedenen N-Acetyl-L-prolin-Konzentrationen

Im Anzuchtmedium, wie in Beispiel 1 beschrieben, wurde die N-Acetyl-L-prolin-Konzentration im Bereich von 1 g/l - 5 g/l in Schritten zu 1 g/l variiert. Nach einer Inkubationszeit von 24 Stunden wurden das Wachstum und die spezifische Aktivität der N-Acyl-L-prolin-Acylase bestimmt.

Tabelle 4

Abhängigkeit des Wachstums und der Bildung der N-Acyl-L-prolin-Acylase von der N-Acetyl-L-prolin-Konzentration des Anzuchtmediums		
N-Acetyl-L-prolin (g/l)	Wachstum (OD ₆₀₀)	Spez. Aktivität (U/mg)
ohne	0,39	n.b.
1	1,95	1,33
2	3,16	1,36
3	4,32	1,77
4	5,42	1,84
5	5,68	0,94
n.b. nicht bestimmt		

Tabelle 4 zeigt, daß die erzielte Zelldichte von der eingesetzten Menge N-Acetyl-L-prolin abhing. Ohne N-Acetyl-L-prolin ist nur geringes Wachstum zu verzeichnen, was auf den im Anzuchtmedium vorhandenen Hefeextrakt zurückzuführen ist. Mit zunehmender N-Acetyl-L-prolin-Konzentration stieg die spezifische Aktivität der Acylase an und erreichte ein Optimum bei 4 g/l N-Acetyl-L-prolin.

d) Wachstum und Acylase-Bildung bei verschiedenen (NH₄)₂SO₄-Konzentrationen

Im Anzuchtmedium, wie in Beispiel 1 beschrieben, wurde die (NH₄)₂SO₄-Konzentration im Bereich von 1 g/l - 5 g/l in Schritten zu 1 g/l variiert. Nach einer Inkubationszeit von 23 Stunden wurden das Wachstum und die spezifische Aktivität der N-Acyl-L-prolin-Acylase bestimmt.

Tabelle 5

Abhängigkeit des Wachstums und der Bildung der N-Acyl-L-prolin-Acylase von der (NH ₄) ₂ SO ₄ -Konzentration des Anzuchtmediums		
(NH ₄) ₂ SO ₄ (g/l)	Wachstum (OD ₆₀₀)	Spez. Aktivität (U/mg)
ohne	4,82	0,38
1	5,24	1,71
2	5,67	1,91
3	5,47	1,53
4	5,44	1,59
5	5,47	1,32

Tabelle 5 zeigt, daß das Wachstum und die Bildung der Acylase bei einer (NH₄)₂SO₄-Konzentration von 2

g/l optimal waren. $(\text{NH}_4)_2\text{SO}_4$ förderte offensichtlich die Bildung der Acylase, da ohne $(\text{NH}_4)_2\text{SO}_4$ die spezifische Aktivität der Acylase nur 20% des optimalen Wertes betrug, während die erreichte Zelldichte nur unwesentlich geringer lag. In diesem Fall dienten der im Anzuchtmedium vorhandene Hefeextrakt und das aus dem N-Acetyl-L-prolin freigesetzte L-Prolin als Stickstoffquelle für das Wachstum der Zellen.

e) Wachstum und Acylase-Bildung bei verschiedenen Hefeextrakt-Konzentrationen

Im Anzuchtmedium, wie in Beispiel 1 beschrieben, wurde die Hefeextrakt-Konzentration im Bereich von 1 g/l - 5 g/l in Schritten zu 1 g/l variiert. Nach einer Inkubationszeit von 24 Stunden wurden das Wachstum und die spezifische Aktivität der N-Acyl-L-prolin-Acylase bestimmt.

Tabelle 6

Abhängigkeit des Wachstums und der Bildung der N-Acyl-L-prolin-Acylase von der Hefeextrakt-Konzentration des Anzuchtmediums		
Hefeextrakt (g/l)	Wachstum (OD_{500})	Spez. Aktivität (U/mg)
ohne	0,02	n.b.
1	6,11	2,14
2	7,03	1,30
3	7,55	1,30
4	8,05	1,26
5	8,82	1,46
n.b. nicht bestimmt		

Tabelle 6 zeigt, daß die Bildung der Acylase bei einer Hefeextrakt-Konzentration von 1 g/l optimal war, während die erreichte Zelldichte mit zunehmender Hefeextrakt-Konzentration anstieg. Ohne Hefeextrakt wuchsen die Zellen nicht, was auf komplexe Nährstoffansprüche des Stammes deutet.

f) Wachstum und Acylase-Bildung bei gleichzeitigem Angebot von Acetat und N-Acetyl-L-prolin im Nährmedium

Im Anzuchtmedium, wie in Beispiel 1 beschrieben, wurde die N-Acetyl-L-prolin-Konzentration auf 0,2 bis 1,0 g/l reduziert und es wurden zusätzlich 4 g/l Na-Acetat eingesetzt. Nach einer Inkubationszeit von 34 Stunden wurden das Wachstum und die spezifische Aktivität der N-Acyl-L-prolin-Acylase bestimmt.

Tabelle 7

5	Wachstum und Induktion der N-Acyl-L-prolin-Acylase bei gleichzeitigem Angebot von Na-Acetat und N-Acetyl-L-prolin im Nährmedium		
10	N-Acetyl-L-prolin (g/l)	Wachstum (OD ₆₀₀)	Spez. Aktivität (U/mg)
15	ohne 0,2 0,4 0,6 0,8 1,0	2,35 2,27 2,90 2,75 3,04 3,12	< 0,01 0,53 0,79 1,41 1,70 1,55

20 Tabelle 7 zeigt, daß die Acylase nur in Gegenwart von N-Acetyl-L-prolin gebildet wurde, gleichzeitig aber nicht durch Acetat reprimiert wurde. Diese erlaubt es durch gleichzeitiges Angebot von Acetat und N-Acetyl-L-prolin als Kohlenstoffquellen eine genügend große Menge an Biomasse zu erhalten, wobei 0,6 g/l des Induktors genüigten, um die Bildung der Acylase ausreichend zu induzieren.

25

g) Wachstum und Acylase-Bildung bei Zugabe von N-Acetyl-L-prolin zum Nährmedium in der spätexponentiellen Wachstumsphase

Es wurde, wie oben unter f) beschrieben, verfahren. Der Induktor, N-Acetyl-L-prolin, wurde jedoch erst
30 in der spätexponentiellen Wachstumsphase nach einer Inkubationszeit von 12 Stunden dem Nährmedium zugesetzt. Danach wurde das Nährmedium weitere 24 Stunden inkubiert und das Wachstum und die spezifische Aktivität der N-Acyl-L-prolin-Acylase bestimmt.

Tabelle 8

35

40

45

50

Wachstum und Induktion der N-Acyl-L-prolin-Acylase bei Zugabe von N-Acetyl-L-prolin in der spätexponentiellen Wachstumsphase		
N-Acetyl-L-prolin (g/l)	Wachstum (OD ₆₀₀)	Spez. Aktivität (U/mg)
ohne 0,2 0,4 0,6 0,8 1,0	1,92 2,22 2,28 2,76 2,95 2,88	< 0,01 0,50 0,63 0,96 0,67 1,08

Ein Vergleich der Tabellen 7 und 8 zeigt, daß in einem Acetat-haltigen Nährmedium 0,6 g/l N-Acetyl-L-prolin ausreichend waren, um die Acylase-Bildung ausreichend zu induzieren. Hierbei ist es vorteilhaft, den
55 Induktor bereits vor dem Animpfen dem Nährmedium zuzusetzen.

h) Wachstum und Acylase-Bildung bei gleichzeitigem Angebot von Na-Acetat und verschiedenen N-Acetyl-

und N-Chloracetyl-aminosäuren im Nährmedium

Es wurde, wie oben unter f) beschrieben, verfahren. Neben N-Acetyl-L-prolin wurden verschiedene N-Acetyl- und N-Chloracetyl-aminosäuren in einer Konzentration von 1 g/l im Nährmedium eingesetzt. Nach einer Inkubationszeit von 24 Stunden wurden das Wachstum und die spezifische Aktivität der N-Acyl-L-prolin-Acylase bestimmt.

Tabelle 9

Einfluß verschiedener N-Acetyl- und N-Chloracetyl-aminosäuren auf das Wachstum und die Acylase-Bildung		
Induktor	Wachstum (OD ₆₀₀)	Spez. Aktivität (U/mg)
ohne	2,60	< 0,01
Ac-L-Ala	2,28	< 0,01
Ac-L-Pro	3,46	1,34
ClAc-L-Met	2,19	< 0,01
ClAc-L-Val	2,50	< 0,01
ClAc-L-Leu	2,65	< 0,01
ClAc-L-Phe	2,89	< 0,01
ClAc-L-Tyr	2,76	< 0,01

Wie aus Tabelle 9 zu ersehen ist, induzierte unter den getesteten N-Acetyl- und N-Chloracetyl-aminosäuren ausschließlich N-Acetyl-L-prolin die Acylase-Bildung.

Beispiel 3: Reinigung der N-Acyl-L-prolin-Acylase

a) Anzucht von *Comamonas testosteroni* DSM 5416 und Gewinnung des Rohextraktes

Comamonas testosteroni DSM 5416 wurde auf Schrägagar (Caseinpepton-Sojamehlpepton-Agar der Firma Merck AG, Darmstadt, FRG) angezogen und je Schrägagar-Röhrchen mit 4,5 ml steriler 0,9 % (w/v) NaCl-Lösung abgeschwemmt. Die so erhaltene Zellsuspension diente als Inokulum für 4 Erlenmeyerkolben (2 l mit 4 Schikanen), die jeweils 500 ml Anzuchtmedium, wie in Beispiel 1 beschrieben, enthielten. Die Erlenmeyerkolben wurden 21 Stunden auf einem Rundschüttler bei 30° C und 100 rpm inkubiert und die Zellen, wie im Beispiel 1 beschrieben, geerntet, gewaschen, in 30 ml 0,1 M Tris-HCl-Puffer pH 7,0 resuspendiert und durch Ultraschall aufgeschlossen.

b) 70° C - Hitzefällung

Der zellfreie Rohextrakt (38,5 ml) wurde 30 Minuten im Wasserbad bei einer Temperatur von 70° C inkubiert. Das nach dieser Zeit präzipitierte Protein wurde durch Zentrifugation (30 Minuten bei 40.000 g und 5° C) abgetrennt.

c) Konzentrierung durch Filtration

Der Überstand der 70° C-Hitzefällung (34,5 ml) wurde durch Filtration über eine Flachmembran der Ausschlußgrenze 100.000 Dalton (YM 100) in einer Rührzelle (Modell 8050 der Firma W.R. Grace Co., Amicon Division, Danvers, USA) bei einem Druck von 4 bar unter Stickstoff konzentriert.

d) Fast Protein Liquid Chromatography (FPLC) an Mono Q

- Das Retentat der Filtration (4,5 ml) wurde auf eine 0,5 x 5 cm Mono Q-Säule (Firma Pharmacia / LKB, Uppsala, Schweden) aufgetragen und bei einem Flow von 1 ml/min chromatographiert. Der Anionenaustauscher wurde vor der Probenaufgabe mit einem 0,1 M Tris-HCl-Puffer pH 7,0 äquilibriert. Eluiert wurde mit einem linearen, innerhalb von 20 ml von 0 auf 0,4 M ansteigenden NaCl-Gradienten in 0,1 M Tris-HCl-Puffer pH 7,0. Die Elution des Enzyms erfolgte bei 0,2 - 0,25 M NaCl. Es wurden, bei einem Probenvolumen von 0,2 ml je Lauf, insgesamt 14 Läufe durchgeführt. Die aktiven Fraktionen wurden vereinigt und bei -20° C eingefroren.
- Die Ergebnisse der Aufreinigung zeigt Tabelle 10.

Tabelle 10

Reinigungsschema der N-Acyl-L-prolin-Acylase						
Reinigungsschritt	Volumen (ml)	Gesamt-Protein (mg)	Gesamt-Aktivität (U)	Ausbeute (%)	Spez. Aktivität (U/mg)	Anreicherung (-fach)
Rohextrakt 70°C-Hitzefällung Konzentrierung (Amicon-Rührzelle mit YM-100-Membran, 100.000 D) FPLC-Mono Q	38,5	472,0	754,7	100	1,60	1
	34,5	86,6	618,0	82	7,14	4,5
	4,5	56,2	585,6	78	10,42	6,5
	27,5	4,4	374,7	50	85,16	53,2

Beispiel 4: Abhängigkeit der Reaktionsgeschwindigkeit vom pH-Wert

Die Reaktionsgeschwindigkeit der hydrolytischen Abspaltung von Essigsäure aus der Verbindung N-Acetyl-L-prolin in Gegenwart der N-Acyl-L-prolin-Acylase wurde in Abhängigkeit vom pH-Wert des Reaktionsgemisches bestimmt. Der Testansatz hatte folgende Zusammensetzung:

10 mM	N-Acetyl-L-prolin in dem unten angegebenen 0,1 M Puffer Acylase	2,95 ml 0,05 ml
-------	--	--------------------

Vor dem Start der Reaktion durch Acylase-Zugabe wurden die pH-Werte des Substrat-Puffer-Gemisches im Bereich von 4,0 bis 5,0 in 0,1 M Essigsäure/NaOH-Puffer, im Bereich von 5,0 bis 6,0 in 0,1 M Na-Citrat/NaOH-Puffer, im Bereich von 6,0 bis 7,5 in 0,1 M K_2HPO_4 / KH_2PO_4 -Puffer, im Bereich von 6,2 bis 9,0 in 0,1 M Tris-HCl-Puffer und im Bereich von 9,0 bis 10,0 in 0,1 M $Na_2CO_3 / NaHCO_3$ -Puffer durch Zugabe von 2 N NaOH auf dem gewünschten pH-Wert eingestellt. Nach 10 Minuten Reaktionszeit bei 30° C wurde die Enzymaktivität durch Ninhydrin-Nachweis des gebildeten L-Prolins bestimmt.

Das Optimum der Reaktionsgeschwindigkeit im Tris-HCl-Puffer lag im pH-Bereich zwischen 6,2 und 7,2 im Kaliumphosphat-Puffer lag das pH-Optimum im Bereich > 7,5, die Reaktionsgeschwindigkeit betrug jedoch hier im Vergleich zum Tris-HCl-Puffer weniger als 15 %. Phosphat hemmte das Enzym.

Beispiel 5: Optimale Reaktionstemperatur

Reaktionsansätze mit 2,95 ml 10 mM N-Acetyl-L-prolin in 0,1 M Tris-HCl-Puffer pH 7,5 wurden 10 Minuten bei Temperaturen zwischen 22 und 85° C vortemperiert und dann die Reaktion durch Zugabe von 0,05 ml Acylase gestartet. Nach 5 Minuten Reaktionszeit wurde die Enzymaktivität durch Ninhydrin-Nachweis des gebildeten L-Prolins bestimmt.

Die maximale Reaktionsgeschwindigkeit wurde bei 65° C erreicht und war um den Faktor 2,3 höher als bei der Standardtemperatur von 30° C.

Beispiel 6: Stabilität der N-Acyl-L-prolin-Acylase

a) pH-Stabilität

Die pH-Stabilität der N-Acyl-L-prolin-Acylase wurde im pH-Bereich von 4,2 bis 10,4 untersucht. FPLC/Mono Q gereinigtes Enzym wurde mit verschiedenen 0,1 M Puffern unterschiedlicher pH-Werte 10-fach verdünnt und 3 Wochen bei 22° C gelagert. Zu verschiedenen Zeiten wurden Proben entnommen (0,2 ml) und deren Enzymaktivität bei 30° C im Reaktionsansatz folgender Zusammensetzung bestimmt:

10 mM	N-Acetyl-L-prolin in 0,1 M Tris-HCl-Puffer pH 7,5 Acylase (1 : 10 verdünnt)	2,8 ml 0,2 ml
-------	--	------------------

Wie aus Tabelle 11 ersichtlich ist, wurde das Enzym durch Citrat rasch inaktiviert, während bei Lagerung in Tris-HCl-Puffer und Na-Carbonat-Puffer zwischen pH 7,4 und 10,4 kein nennenswerter Aktivitätsverlust feststellbar war.

Tabelle 11

pH-Stabilität der N-Acyl-L-prolin-Acylase					
Puffer	Restaktivität (%) nach				
	1 Tag	3 Tagen	1 Woche	2 Wochen	3 Wochen
Na-Acetat					
pH 4,2	65	56	34	22	16
pH 4,6	59	58	49	38	28
pH 5,2	73	75	64	71	81
Na-Citrat					
pH 5,0	14	1	0	0	0
pH 5,5	16	3	1	0	0
pH 6,0	21	5	3	5	3
K-Phosphat					
pH 6,0	82	96	68	48	30
pH 6,5	84	96	67	52	40
pH 7,0	85	97	72	63	49
pH 7,5	88	98	69	56	48
Tris-HCl					
pH 7,4	82	101	97	145	156
pH 8,0	107	110	107	163	171
pH 8,5	117	129	123	166	162
pH 9,0	101	128	122	160	1
Na-Carbonat					
pH 8,7	93	109	101	133	127
pH 9,3	93	101	98	65	38
pH 9,9	98	107	102	134	108
pH 10,4	121	132	115	128	111

b) Temperaturstabilität

Die in 0,1 M Tris-HCl-Puffer pH 7,5 gelöste Acylase wurde 30 Minuten bei Temperaturen von 20 bis 85° C inkubiert. Danach wurde die Enzymaktivität bei 30° C im Reaktionsansatz folgender Zusammensetzung bestimmt:

10 mM	N-Acetyl-L-prolin, in 0,1 M Tris-HCl-Puffer pH 7,5 Acylase	2,95 ml 0,05 ml
-------	---	--------------------

Nach 30-minütiger Inkubation bei 70° C war kein Aktivitätsverlust des Enzyms nachweisbar, bei höheren Temperaturen wurde das Enzym jedoch schnell deaktiviert.

Beispiel 7: Einflüsse von Inhibitoren und Aktivatoren

Der Einfluß verschiedener chemischer Agenzien sowie Metallkationen und Anionen auf die Reaktionsgeschwindigkeit der hydrolytischen Spaltung von N-Acetyl-L-prolin wurde bei 30° C im Reaktionsansatz

folgender Zusammensetzung bestimmt:

30 mM	N-Acetyl-L-prolin, in 0,1 M Tris-HCl-Puffer pH 7,0	1,0 ml
3 bzw. 30 mM	Inhibitor in o.g. Puffer	1,0 ml
0,1 M	Tris-HCl-Puffer pH 7,0	0,95 ml
	Acylase	0,05 ml

a) Einfluß verschiedener chemischer Agenzien

Aus Tabelle 12 geht hervor, daß 1,10-Phenanthrolin, 2-Mercaptoethanol, 4-Chloromercuribenzoat und 4-Hydroxymercuribenzoat die Acylase signifikant hemmen. Vor dem Start der Reaktion durch Substratzugabe wurde das Enzym 10 Minuten bei 30° C mit dem Effektor vorinkubiert.

Tabelle 12

Einfluß verschiedener chemischer Agenzien auf die Acylase-Aktivität		
Effektor	Konzentration (mM)	Aktivität (%)
ohne	-	100
EDTA	1	101
	10	99
Na-Citrat	1	102
	10	102
2,2'-Bipyridin	1	102
	10	66
1,10-Phenanthrolin	1	27
	10	1
Dithiothreitol	1	129
	10	48
Glutathion	1	116
	10	135
2-Mercaptoethanol	1.4	42
	14	14
4-Chloromercuribenzoat	1	85
	10	48
4-Hydroxymercuribenzoat	1	88
	10	41
Jodacetamid	1	104
	10	101
Jodacetat	1	97
	10	77
Semicarbazid	1	109
	10	95
PMSF	0.1	104
	1	130

b) Einfluß verschiedener Metallkationen

Aus Tabelle 13 geht hervor, daß das native Enzym durch keines der getesteten Metallkationen aktiviert wurde. Inhibierend wirkten Cd^{2+} , Cu^{2+} , Fe^{2+} , Fe^{3+} , Hg^{2+} , Sn^{2+} und Zn^{2+} . Vor dem Start der Reaktion durch Substratzugabe wurde das Enzym 10 Minuten bei 30° C mit dem Effektor vorinkubiert.

Tabelle 13

Einfluß verschiedener Kationen auf die Acylase-Aktivität		
Effektor	Konzentration (mM)	Aktivität (%)
ohne	-	100
BaCl_2	1	100
	10	99
CaCl_2	1	100
	10	91
CdCl_2	1	89
	10	65
CoCl_2	1	103
	10	92
CuSO_4	1	61
	10	19
FeSO_4	1	20
	10	n.b.
FeCl_3	1	83
	10	58
HgCl_2	1	67
	10	9
MgCl_2	1	106
	10	99
MnCl_2	1	104
	10	103
$\text{Ni}(\text{NO}_3)_2$	1	94
	10	75
SnCl_2	1	72
	10	55
SrCl_2	1	104
	10	100
ZnSO_4	1	77
	10	32
n.b. nicht bestimmt		

c) Einfluß verschiedener Anionen

Aus Tabelle 14 geht hervor, daß die Acylase durch Phosphat stark und durch Carbonat und Nitrit schwach gehemmt wurde. Der Hemmechanismus des Phosphats war nicht-kompetitiv. Vor dem Start der Reaktion durch Substratzugabe wurde das Enzym 10 Minuten bei 30° C mit dem Effektor vorinkubiert. Die Konzentration der Anionen betrug jeweils 10 mM.

Tabelle 14

Einfluß verschiedener Anionen auf die Acylase-Aktivität	
Effektor	Aktivität (%)
ohne	100
NaCl	99
Na ₂ CO ₃	75
NaH ₂ PO ₄	6
Na ₂ SO ₄	96
NaNO ₂	71
KNO ₃	96

d) Einfluß verschiedener Kationen auf die 1,10-Phenanthrolin-inaktivierte Acylase (Apoenzym)

FPLC/Mono Q-gereinigtes Enzym wurde 24 Stunden bei 4° C in Anwesenheit von 1 mM 1,10-Phenanthrolin inkubiert. Anschließend wurden Enzym und der Chelatbildner 1,10-Phenanthrolin durch Gelfiltration über Sephadex G-25 M (PD-10, Firma Pharmacia / LKB, Uppsala, Schweden) getrennt. Die enzymhaltigen Fraktionen wurden vereinigt und die Aktivität ohne und in Anwesenheit verschiedener Kationen (1 mM) bestimmt.

Tabelle 15 zeigt, daß die 1,10-Phenanthrolin-inaktivierte Acylase (Apoenzym) durch CO_2^+ und Zn^{2+} auf 80 % bzw. 54 % der Ausgangsaktivität reaktiviert wurde. Wie bereits unter b) beschrieben, hemmten Cu^{2+} , Fe^{2+} , Fe^{3+} , Hg^{2+} und Sn^{2+} . Dies deutet daraufhin, daß es sich bei der N-Acyl-L-prolin-Acylase um ein Kobalt- oder Zink-abhängiges Metalloenzym handelt.

Tabelle 15

Einfluß verschiedener Kationen auf die 1,10-Phenanthrolin-inaktivierte Acylase		
Enzym-Präparat	Effektor	Aktivität (%)
Natives Enzym	-	100
Inaktivierte Enzym (vor Gelfiltration)	-	2
Inaktivierte Enzym (nach Gelfiltration)	ohne	21
	BaCl ₂	18
	CaCl ₂	17
	CdCl ₂	20
	CoCl ₂	80
	CuSO ₄	6
	FeSO ₄	12
	FeCl ₃	5
	HgCl ₂	6
	MgCl ₂	25
	MnCl ₂	23
	Ni(NO ₃) ₂	21
	SnCl ₂	10
	SrCl ₂	23
	ZnSO ₄	54

Beispiel 8: Bestimmung des Molekulargewichts und der Anzahl und Größe der Untereinheiten

Das Molekulargewicht des nativen Enzyms wurde durch Gelfiltration an Superose 12 HR 10/30 ermittelt. Die an ein FPLC-System (Firma Pharmacia/LKB, Uppsala, Schweden) gekoppelte Säule (1,0 x 30 cm) wurde mit einer Durchflußrate von 0,3 ml pro Minute betrieben, wobei 0,2 ml des FPLC/Mono Q-gereinigten Enzyms als Probe dienten. Als Eichproteine wurden Aprotinin, Chymotrypsinogen A, Aldolase, Catalase und Ferritin verwendet. Das Molekulargewicht der N-Acetyl-L-prolin-Acylase beträgt 380.000 ± 40.000 Dalton.

Durch Gelelektrophorese in Gegenwart von Natriumdodecylsulfat (SDS) wurde die Größe und Anzahl der Untereinheiten des Enzyms bestimmt. Das Molekulargewicht der Untereinheiten beträgt 45.000 ± 5.000 Dalton. Das bedeutet, daß die N-Acetyl-L-prolin-Acylase aus 8 Untereinheiten identischer Größe besteht. Für die Eichkurve wurden Phosphorylase b (Kaninchenmuskel), Albumin (Rinderserum), Ovalbumin (Hühnereiweiß), Carboanhydrase (Rinder-Erythrozyten) und Trypsin-Inhibitor (Sojabohne) verwendet.

Beispiel 9: Abhängigkeit der Acylase-Aktivität von der Substratkonzentration

Die Abhängigkeit der Reaktionsgeschwindigkeit der hydrolytischen Abspaltung von Essigsäure aus der Verbindung N-Acetyl-L-prolin in Gegenwart der N-Acetyl-L-prolin-Acylase wurde im Reaktionsansatz folgender Zusammensetzung bestimmt:

N-Acetyl-L-prolin in 0,1 M Tris-HCl-Puffer pH 7,0	1,0 ml
0,1 M Tris-HCl-Puffer pH 7,0	1,95 ml
Acylase	0,05 ml

Die Reaktionstemperatur betrug 30° C und die Inkubationszeit 10 Minuten. Die N-Acetyl-L-prolin-Konzentration des Reaktionsansatzes wurde im Bereich von 1 bis 50 mM variiert. Der K_M -Wert für N-Acetyl-

L-prolin beträgt unter den o.g. Bedingungen 5 mM.

Beispiel 10: Substratspezifität der N-Acyl-L-prolin-Acylase

a) Hydrolyse verschiedener N-Acetyl-L-aminosäuren bzw. N-Chloracetyl-L-aminosäuren

Die Aktivität der Acylase wurde mit verschiedenen N-Acetyl-L-aminosäuren bzw. N-Chloracetyl-L-aminosäuren im Reaktionsansatz folgender Zusammensetzung bestimmt:

20 mM	N-Acetyl-aminosäure bzw. N-Chloracetyl-aminosäure	1,0 ml
0,1 M	Tris-HCl-Puffer pH 7,0	0,95 ml
	Acylase	0,05 ml

Die Reaktionstemperatur betrug 30°C und die Inkubationszeit 15 Minuten bis 24 Stunden. Jeweils 0,2 ml des Reaktionsansatzes wurden zu verschiedenen Zeiten mit 0,2 ml 10 % (w/v) Trichloressigsäure versetzt und das denaturierte Protein 10 Minuten bei 11.000 rpm in einer Tischzentrifuge abzentrifugiert. Der Überstand wurde mit einem 0,1 M Na-Citrat-Puffer pH 2,2 mit 25 % (v/v) 2,2-Thiodiethanol und 0,1 % (v/v) Phenol 1 : 5 bzw. 1 : 50 verdünnt. Die freigesetzten Aminosäuren wurden durch einen Aminosäurenanalysator LC 5001 der Firma Biotronic, Maintal, FRG, quantitativ erfaßt. Die in Tabelle 16 mit * gekennzeichneten Substrate und entsprechenden Produkte wurden durch HPLC quantifiziert.

Für die Bestimmung der relativen Aktivitäten wurde die Hydrolyserate mit N-Acetyl-L-prolin unter vergleichbaren Reaktionsbedingungen gleich 100 % gesetzt.

Wie aus Tabelle 16 zu ersehen ist, werden N-Acetyl- und N-Chloracetyl-L-prolin, N-Chloracetyl-L-thiazolidin-4-carbonsäure sowie N-Chloracetyl-DL-thiazolidin-2-carbonsäure bevorzugt hydrolysiert. Daneben wurden auch N-Chloracetyl-D,L-pipecolinsäure, N-Chloracetyl-L-methionin, N-Chloracetyl-L-valin sowie N-Acetyl-L-alanin mit deutlich geringerer Geschwindigkeit umgesetzt.

Tabelle 16

Spezifität der N-Acyl-L-prolin-Acylase gegenüber verschiedenen N-Acetyl- und N-Chloracetyl-aminosäuren	
Substrat	Rel. Aktivität (%)
Ac-L-Pro	100
Ac-L-Ala	9,3
Ac-L-Val	0,2
Ac-D,L-Ser	0,2
Ac-L-Cys	0
Ac-L-Tyr	0
ClAc-L-Pro	362
ClAc-L-thiazolidin-4-carbonsäure	462
ClAc-D,L-thiazolidin-2-carbonsäure*	202
ClAc-D,L-pipecolinsäure*	16
Ac-L-azetidin-2-carbonsäure*	0
ClAc-L-indolin-2-carbonsäure*	0
ClAc-L-Met	17,1
ClAc-L-Val	14,1
ClAc-L-Leu	1,9
ClAc-L-Phe	1,0
ClAc-L-Tyr	1,0
ClAc-L-Ile	0,5
ClAc-D,L-1-aminocyclohexansäure	0

* Die Substratkonzentration betrug 50 mM.

b) Hydrolyse verschiedener Prolinderivate

Die Aktivität der Acylase wurde mit verschiedenen Prolinderivaten wie unter a) beschrieben bestimmt.

Für die Bestimmung der relativen Aktivitäten wurde die Hydrolyserate mit N-Acetyl-L-prolin unter vergleichbaren Reaktionsbedingungen gleich 100 % gesetzt.

Wie aus Tabelle 17 zu ersehen ist, ist die Acylase L-spezifisch, da N-Acetyl-D-Prolin nicht hydrolysiert wird. Das Enzym benötigt offensichtlich die freie Carboxylgruppe des Prolins zur Substratbindung, da N-Acetyl-L-prolinamid und N-Acetyl-L-prolinmethylester nicht hydrolysiert werden. N-Chloracetyl-L-prolin wurde um das 3,6-fache schneller hydrolysiert als N-Acetyl-L-prolin. Eine um das 3- bis 20-fach geringere Hydrolyserate wurde mit N-Formyl-L-prolin, N-Propionyl-L-prolin, N-Butyryl-L-prolin, N-Valeryl-L-prolin, N-Caproyl-L-prolin, N-Acetyl-L-4-hydroxyprolin, N-Benzoyloxycarbonyl-glycyl-L-prolin und Glycyl-L-prolin erhalten.

Tabelle 17

Spezifität der N-Acyl-L-prolin-Acylase gegenüber verschiedenen Prolinderivaten	
Substrat	Rel. Aktivität (%)
Ac-L-Pro-OH	100
Ac-D-Pro-OH	0
ClAc-L-Pro-OH	362
Ac-L-Pro-NH ₂	0
Ac-L-Pro-OMe	0
Ac-L-Pro(4-OH)-OH	10
Ac-L-Ala-L-Pro-OH	0
Formyl-L-Pro-OH	18
Propionyl-L-Pro-OH	29
Butyryl-L-Pro-OH	14
Valeryl-L-Pro-OH	15
Caproyl-L-Pro-OH	9
Z-L-Pro-OH	0
Z-D-Pro-OH	0
Z-L-Pro-NH ₂	0
Z-L-Pro-L-Ala-OH	0
Z-Gly-L-Pro-OH	11
Boc-L-Pro-OH	0
H-Gly-L-Pro-OH	4
H-L-Ala-L-Pro-OH	0
H-L-Pro-NH ₂	0
H-L-Pro-Gly-OH	0

Beispiel 11: Stereospezifität der Hydrolyse von N-Acetyl-D,L-Prolin durch die N-Acetyl-L-prolin-Acylase

Die Hydrolyse von N-Acetyl-L-prolin, N-Acetyl-D,L-prolin und N-Acetyl-D-prolin wurde im Reaktionsansatz folgender Zusammensetzung durchgeführt:

20 mM	Substrat in 0,1 M Tris-HCl-Puffer pH 7,0	1,0 ml
0,1 M	Tris-HCl-Puffer pH 7,0	0,95 ml
	Acylase	0,05 ml

Der Reaktionsansatz wurde 2 Stunden bei 30° C inkubiert und dann die Menge gebildetes L-Prolin durch Aminosäureanalyse, wie im Beispiel 10 beschrieben, bestimmt.

Die Tabelle 18 zeigt, daß die N-Acyl-L-prolin-Acylase N-Acetyl-L-prolin, jedoch nicht N-Acetyl-D-prolin, hydrolysiert.

Tabelle 18

Stereospezifität der N-Acyl-L-prolin-Acylase		
Substrat	Konzentration (mmol/ml)	L-Prolin (mmol/ml)
N-Acetyl-L-prolin	10	10,25
N-Acetyl-D,L-prolin	10	4,82
N-Acetyl-D-prolin	10	< 0,01

Beispiel 12: Synthese von N-Acetyl-L-prolin, N-Propionyl-L-prolin und N-Butyryl-L-prolin

Die Rückreaktion, die Synthese von N-Acetyl-L-prolin aus Essigsäure und L-Prolin, wurde im Reaktionsansatz folgender Zusammensetzung untersucht:

1 M	Natriumacetat + 5 M L-Prolin in 0,1 M Tris-HCl-Puffer pH 7,0 Acylase (FPLC-gereinigt)	1 ml 1 ml
-----	--	--------------

Der Reaktionsansatz wurde bei 30° C inkubiert. Zu verschiedenen Zeiten wurden Proben entnommen, mit einem Aliquot 10 % (w/v) Trichloressigsäure versetzt und das denaturierte Protein 10 Minuten bei 11.000 rpm in einer Tischzentrifuge abzentrifugiert. Der Überstand wurde durch HPLC nach entsprechender Verdünnung mit dem Eluenten analysiert.

Nach einer Inkubationszeit von 7 Tagen betrug die N-Acetyl-L-prolin-Konzentration des Reaktionsansatzes 0,2 Mol/l, entsprechend einer Ausbeute von 40 %, bezogen auf die eingesetzte Mengen an Natriumacetat. Der Kontrollansatz ohne Enzym enthielt kein N-Acetyl-L-prolin.

Analog konnten auch N-Propionyl-L-prolin und N-Butyryl-L-prolin aus Na-Propionat bzw. Na-Butyrat und L-Prolin synthetisiert werden. Eine Synthese von N-Benzoyl-L-prolin, N-Phenylacetyl-L-prolin und N-Phenylpropionyl-L-prolin aus Natrium-Benzolat, -Phenylacetat bzw. -Phenylpropionat (jeweils 0,05 M im Reaktionsansatz) und L-Prolin gelang nicht.

Ansprüche

1. Mikrobiologisch hergestellt

N-Acyl-L-prolin-Acylase,

gekennzeichnet durch die folgenden Eigenschaften:

1) Reaktivität:

sie spaltet die Acetylgruppe von N-Acetyl-L-prolin ab, wobei Essigsäure und L-Prolin als Endprodukte entstehen, und kondensiert Essigsäure und L-Prolin, wobei N-Acetyl-L-prolin und Wasser als Endprodukte entstehen;

2) Substratspezifität:

sie hydrolysiert N-Acetyl-L-prolin, N-Chloracetyl-L-prolin, N-Formyl-L-prolin, N-Propionyl-L-prolin, N-Butyryl-L-prolin, N-Valeryl-L-prolin, N-Caproyl-L-prolin, N-Acetyl-L-4-hydroxyprolin, N-Chloracetyl-L-thiazolidin-4-carbonsäure, N-Chloracetyl-L-thiazolidin-2-carbonsäure, N-Chloracetyl-L-pipecolinsäure, N-Benzoyloxy-carbonyl-glycyl-L-prolin, Glycyl-L-prolin, N-Acetyl-L-alanin, N-Chloracetyl-L-methionin und N-Chloracetyl-L-valin;

3) Optimaler pH-Wert:

der optimale pH-Wert ist $6,8 \pm 0,5$;

4) pH-Stabilität:

sie zeigt bei 22°C über einen Zeitraum von 3 Wochen eine gute Stabilität im pH-Bereich zwischen pH 7,0 und pH 10,0;

5) Optimale Temperatur:

die optimale Temperatur beträgt 65°C bei einem pH-Wert von 7,5;

6) Temperaturbeständigkeit:

bei 70°C und pH 7,5 ist nach 30-minütiger Inkubation kein Aktivitätsverlust nachweisbar;

5 7) Einflüsse von Inhibitoren und Aktivatoren:

inhibierend wirken von allem 1,10-Phenanthrolin, 2-Mercaptoethanol, 4-Chloromercuribenzoat, 4-Hydroxymymercuribenzoat, Hg^{2+} , Cu^{2+} , Fe^{2+} , Fe^{3+} , Sn^{2+} , Zn^{2+} und PO_4^{3-} , aktivierend auf das Apoenzym wirken Co^{2+} und Zn^{2+} ;

8) Molekulargewicht:

10 das Molekulargewicht beträgt $380\,000 \pm 40\,000$ Dalton;

9) Untereinheiten:

das Molekül besteht aus 8 gleichgroßen Untereinheiten mit je $45\,000 \pm 5\,000$ Dalton;

10) K_M -Wert:

der K_M -Wert für das Substrat N-Acetyl-L-prolin beträgt 5 mM (30°C, 0,1 M Tris-HCl-Puffer, pH 7,0).

15 2. Verfahren zur Gewinnung der N-Acyl-L-prolin-Acylase gemäß Anspruch 1, dadurch gekennzeichnet,

daß man *Comamonas testosteroni* DSM 5416 oder *Alkaligenes denitrificans* DSM 5417 in einem wäßrigen Nährmedium, das eine Quelle für Kohlenstoff und Stickstoff, Mineralsalze und N-Acetyl-L-prolin als Induktor, bei Einsatz von *Comamonas testosteroni* DSM 5416 zusätzlich eine Vitaminquelle, z.B. in komplexer Form als Hefeextrakt, enthält, bei einem Ausgangs-pH-Wert zwischen 6,0 und 8,0 und einer Temperatur zwischen 25°C und 35°C aerob kultiviert, die Zellmasse abtrennt und das Enzym und aus den Zellen isoliert.

3. Verwendet der N-Acyl-L-prolin-Acylase gemäß Anspruch 1 zur Gewinnung von L-Prolin aus N-Acetyl-L-prolin, N-Chloracetyl-L-prolin, N-Formyl-L-prolin, N-Propionyl-L-prolin, N-Butyryl-L-prolin, N-Valeryl-L-prolin, N-Caproyl-L-prolin, N-Acetyl-D,L-prolin, N-Chloracetyl-D,L-prolin, N-Formyl-D,L-prolin, N-Propionyl-D,L-prolin, N-Butyryl-D,L-prolin, N-Valeryl-D,L-prolin oder N-Caproyl-D,L-prolin sowie L-Pipecolinsäure aus N-Acetyl-L-pipecolinsäure, N-Chloracetyl-L-pipecolinsäure, N-Acetyl-D,L-pipecolinsäure oder N-Chloracetyl-D,L-pipecolinsäure sowie L-Thiazolidin-4-carbonsäure aus N-Acetyl-L-thiazolidin-4-carbonsäure, N-Chloracetyl-L-thiazolidin-4-carbonsäure, N-Acetyl-D,L-thiazolidin-4-carbonsäure oder N-Chloracetyl-D,L-thiazolidin-4-carbonsäure sowie L-Thiazolidin-2-carbonsäure aus N-Acetyl-L-thiazolidin-2-carbonsäure, N-Chloracetyl-L-thiazolidin-2-carbonsäure, N-Acetyl-D,L-thiazolidin-2-carbonsäure oder N-Chloracetyl-D,L-thiazolidin-2-carbonsäure und zur Herstellung von N-Acetyl-L-prolin, N-Propionyl-L-prolin und N-Butyryl-L-prolin aus L-Prolin und der jeweiligen Carbonsäure.

35

40

45

50

55



Europäisches
Patentamt

EUROPÄISCHER RECHERCHENBERICHT

Nummer der Anmeldung

EP 90114653.0

EINSCHLÄGIGE DOKUMENTE			
Kategorie	Kennzeichnung des Dokuments mit Angabe, soweit erforderlich, der maßgeblichen Teile	Betrifft Anspruch	KLASSIFIKATION DER ANMELDUNG (Int. Cl. 7)
A	PATENT ABSTRACTS OF JAPAN, unexamined applications, C field, Band 4, Nr. 30, 15. März 1980 THE PATENT OFFICE JAPANESE GOVERNMENT Seite 148 C 2 * Kokai-Nr. 55-7 015 (NODA SANGIYOU KAGAKU KENKIYUU- SHIYO) *	1-3	C 12 N 9/80 C 12 P 13/24 /(C 12 N 9/80 C 12 R 1:05)
D, A	BIOCHIMICA ET BIOPHYSICA ACTA, Band 744, 1983, Amsterdam M. KIKUCHI et al. "A new enzyme, proline acylase (N- Acyl-L-Proline Amidohydro- lase) from pseudomonas species" Seiten 180-188 * Gesamt *	1, 3	
A	PATENT ABSTRACTS OF JAPAN, unexamined applications, C field, Band 13, Nr. 278, 26. Juni 1989 THE PATENT OFFICE JAPANESE GOVERNMENT Seite 68 C 611 * Kokai-Nr. 1-74 987 (DAICEL CHEM IND LTD) *	1, 3	RECHERCHIERTE SACHGEBIETE (Int. Cl. 7) C 12 N C 12 P
Der vorliegende Recherchenbericht wurde für alle Patentansprüche erstellt.			
Rechenort WIEN		Anschlußdatum der Recherche 19-10-1990	
		Prüfer WOLF	
KATEGORIE DER GENANNTEN DOKUMENTEN X : von besonderer Bedeutung allein betrachtet Y : von besonderer Bedeutung in Verbindung mit einer anderen Veröffentlichung derselben Kategorie A : technologischer Hintergrund O : mündliche Offenbarung P : Zwischenliteratur T : der Erfindung zugrunde liegende Theorien oder Grundsätze E : älteres Patentdokument, das jedoch erst am oder nach dem Anmeldedatum veröffentlicht worden ist D : in der Anmeldung angeführtes Dokument L : aus andern Gründen angeführtes Dokument & : Mitglied der gleichen Patentfamilie, überein- stimmendes Dokument			

Form 1993 01/82



100
100